

Relatório IV - MOAB

Análise e Projeto de Sistemas de Controle - 20.1

Professor Antonio Marcus Nogueira Lima, Dr.

Aluno: Arthur Dimitri Brito Oliveira

Este relatório tem como objetivo a apresentação do desenvolvimento do modelo matemático do MOAB, um sistema bola-prato com múltiplos graus de liberdade. Além disso, busca-se a comparação entre a implementação do modelo matemático do MOAB e a implementação computacional disponível em um repositório do GitHub.

Sumário

- **Introdução**
- **Fundamentação Teórica**
 - Premissas quanto ao modelo dinâmico
 - Nomenclatura utilizada
 - Equações de movimento: derivação
 - Análise cinemática das juntas
- **Desenvolvimento**
- **Referências**

Introdução

O balanceamento de uma bola sobre um prato é um problema de controle desafiador. Trata-se de um sistema não linear complexo com múltiplos graus de liberdade. A Figura 1 ilustra o sistema.

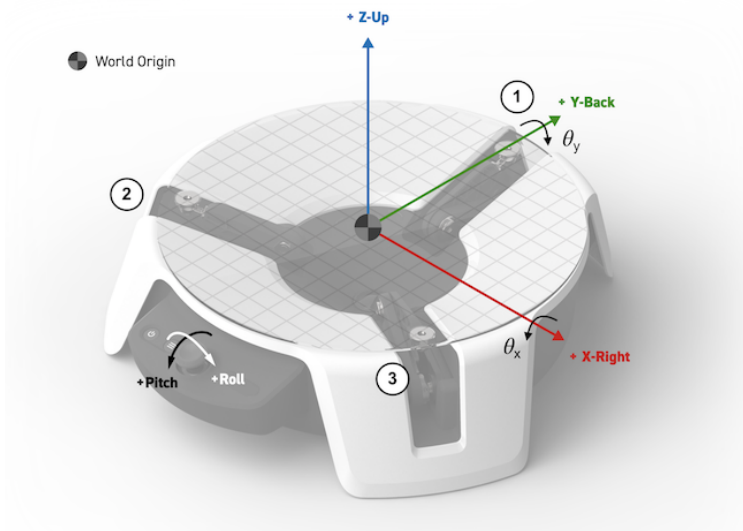


Figura 1: Vista isométrica do sistema bola-prato com identificação dos eixos.

O sistema consiste em um prato que pode ser atuado, a partir do acionamento de três motores, em duas direções perpendiculares. O projeto é realizado de tal modo que o centro do prato não se move. O objetivo consiste na estabilização da bola em um ponto de operação desejado no prato, ou fazer com que a bola siga uma trajetória pré-definida. Há quatro graus de liberdade: dois associados às inclinações do prato e dois relacionados ao movimento da bola nos eixos x e y do prato.

Fundamentação Teórica

Esta seção trata da formulação matemática do problema.

Premissas quanto ao modelo dinâmico

Algumas premissas são estabelecidas para simplificar a modelagem do sistema:

1. A bola nunca perde contato com a superfície do prato.
2. Não há deslizamento entre a bola e o prato.
3. Forças de atrito são desprezíveis.

Nomenclatura utilizada

Para as variáveis do sistema, utilizou-se as seguintes nomenclaturas:

- θ_y - ângulo com relação ao eixo X
- $\dot{\theta}_y$ - velocidade angular do prato com relação ao eixo X
- $\ddot{\theta}_y$ - aceleração angular do prato com relação ao eixo X

- θ_x - ângulo com relação ao eixo Y
- $\dot{\theta}_x$ - velocidade angular do prato com relação ao eixo Y
- $\ddot{\theta}_x$ - aceleração angular do prato com relação ao eixo Y
- m_b - massa da bola
- J_b - momento de inércia da bola
- r_b - raio da bola
- v_b - velocidade da bola
- x - posição da bola no eixo x
- y - posição da bola no eixo y
- \dot{x} - velocidade da bola no eixo x
- \dot{y} - velocidade da bola no eixo y
- \ddot{x} - aceleração da bola no eixo x
- \ddot{y} - aceleração da bola no eixo y

Equações de movimento: derivação

Para esta seção, utilizou-se a modelagem matemática proposta em [1]. A formulação Lagrangiana utiliza escalares e torna a transformação de coordenadas uma tarefa mais simples. O Lagrangiano pode ser definido como:

$$\mathcal{L} = T - V$$

Onde T é a energia cinética do sistema e V é a energia potencial do sistema. A energia cinética total do sistema tem quatro componentes: energia cinética translacional da bola com relação à origem do prato; a energia rotacional da bola com relação ao seu centro de gravidade; energia cinética translacional do prato; energia cinética rotacional da bola no sistema bola-prato com relação à origem do prato.

Tratando da energia translacional da bola com relação à origem do prato, a posição da bola pode ser escrita como:

$$\vec{r} = x\hat{i} + y\hat{j} + (x \sin(\theta_y) + y \sin(\theta_x))$$

Ao derivar a equação anterior, tem-se:

$$\dot{\vec{r}} = (\dot{x} \sin(\theta_y) + x\dot{\theta}_y \cos(\theta_y) + \dot{y} \sin(\theta_x) + y\dot{\theta}_x \cos(\theta_x))$$

Ao utilizar a expansão por série de Taylor para $\sin(\theta_y)$, $\sin(\theta_x)$ e $\cos(\theta_y)$, $\cos(\theta_x)$ em torno do ponto de equilíbrio, tem-se que:

$$[\theta_y \ \theta_x]' = [0 \ 0]'$$

De modo que:

$$\vec{r} = \dot{x}\hat{i} + \dot{y}\hat{j} + (-x\dot{\theta}_y + y\dot{\theta}_x)\hat{k}$$

O módulo do vetor de posição é:

$$|\dot{r}| = \sqrt{\dot{x}^2 + \dot{y}^2 + (-x\dot{\theta}_y + y\dot{\theta}_x)^2}$$

A energia cinética translacional é dada por:

$$T_{bt} = \frac{1}{2}m_b(\dot{x}^2 + \dot{y}^2 + (-x\dot{\theta}_y + y\dot{\theta}_x)^2)$$

A energia cinética rotacional da bola em relação ao seu centro de gravidade pode ser escrita como:

$$T_{br} = \frac{1}{2}J_b\omega_b^2$$

Tendo em vista que não há separação entre a bola e o prato, a velocidade dela em relação ao prato é zero, de modo que $\omega_b = \frac{v_b}{r_b}$. A velocidade da bola, v_b pode ser definida como:

$$\vec{v}_b = \dot{x}\hat{i} + \dot{y}\hat{j} \rightarrow |v_b| = \sqrt{\dot{x}^2 + \dot{y}^2}$$

Sendo assim, a energia rotacional da bola em relação ao seu centro de gravidade é:

$$T_{br} = \frac{1}{2}\frac{J_b}{r_b^2}(\dot{x}^2 + \dot{y}^2)$$

Analizando então a energia cinética rotacional do sistema bola-prato com relação à origem do prato, constata-se que a energia total consiste em três elementos: a energia cinética da bola, a energia cinética devido aos momentos de inércia do prato em x e a energia cinética devido aos momentos de inércia do prato na direção de y . Assim:

$$T_{pb} = \frac{1}{2}J_b(\dot{\theta}_y^2 + \dot{\theta}_x^2) + \frac{1}{2}J_{px}\dot{\theta}_y^2 + \frac{1}{2}J_{py}\dot{\theta}_x^2$$

Onde J_{px} e J_{py} são os momentos de inércia do prato com relação aos eixos X e Y respectivamente. θ_y e θ_x são as inclinações do prato com relação aos eixos X e Y .

A energia potencial do sistema, relativa ao plano de equilíbrio, pode ser expressa como:

$$V = m_bg(-x \sin \theta_y + y \sin(\theta_x))$$

Utilizando a formulação Lagrangiana e derivando as equações de movimento, tem-se que:

$$\mathcal{L} = T_{bt} + T_{br} + T_{pb} - V$$

Substituindo as expressões de T_{bt} , T_{br} , T_{pb} e V , tem-se:

$$\mathcal{L} = \frac{1}{2} \left(m_b + \frac{J_b}{r_b^2} \right) (\dot{x}^2 + \dot{y}^2) + \frac{1}{2} m_b (x\dot{\theta}_y - y\dot{\theta}_x)^2 + \frac{1}{2} J_b (\dot{\theta}_y^2 + \dot{\theta}_x^2) + \frac{1}{2} J_{px} \dot{\theta}_x^2 + \frac{1}{2} J_{py} \dot{\theta}_y^2 - m_b g (-x \sin \theta_y + y \sin \theta_x)$$

Utilizando a formulação Lagrangiana, e estabelecendo as coordenadas como $q_1 = x$ e $q_2 = y$, obtem-se:

$$\frac{d}{dt} \left(\frac{\delta \mathcal{L}}{\delta \dot{x}_i} \right) - \frac{\delta \mathcal{L}}{\delta x_i} = F_x$$

$$\frac{d}{dt} \left(\frac{\delta \mathcal{L}}{\delta \dot{y}_i} \right) - \frac{\delta \mathcal{L}}{\delta y_i} = F_y$$

Para $q_i = x$:

$$\frac{\delta \mathcal{L}}{\delta \dot{x}} = \left(m_b + \frac{J_b}{r_b^2} \right) \dot{x}$$

$$\frac{d}{dt} \left(\frac{\delta \mathcal{L}}{\delta \dot{x}} \right) = \left(m_b + \frac{J_b}{r_b^2} \right) \ddot{x}$$

$$\frac{\delta \mathcal{L}}{\delta x} = m_b \dot{\theta}_y (x\dot{\theta}_y - y\dot{\theta}_x) + m_b g \sin \theta_y$$

Para $q_i = y$:

$$\frac{\delta \mathcal{L}}{\delta \dot{y}} = \left(m_b + \frac{J_b}{r_b^2} \right) \dot{y}$$

$$\frac{d}{dt} \left(\frac{\delta \mathcal{L}}{\delta \dot{y}} \right) = \left(m_b + \frac{J_b}{r_b^2} \right) \ddot{y}$$

$$\frac{\delta \mathcal{L}}{\delta y} = m_b \dot{\theta}_x (y\dot{\theta}_x - x\dot{\theta}_y) - m_b g \sin \theta_x$$

Sabendo que não há quaisquer forças externas em x e em y , $F_x, F_y = 0$. De forma que:

$$\frac{d}{dt} \left(\frac{\delta \mathcal{L}}{\delta \dot{x}} \right) - \frac{\delta \mathcal{L}}{\delta x} = F_x = 0$$

$$\frac{d}{dt} \left(\frac{\delta \mathcal{L}}{\delta \dot{x}} \right) - \frac{\delta \mathcal{L}}{\delta x} = \left(m_b + \frac{J_b}{r_b^2} \right) \ddot{x} - m_b \dot{\theta}_y (x\dot{\theta}_y - y\dot{\theta}_x) - m_b g \sin \theta_y = 0$$

$$\frac{d}{dt} \left(\frac{\delta \mathcal{L}}{\delta \dot{y}} \right) - \frac{\delta \mathcal{L}}{\delta y} = \left(m_b + \frac{J_b}{r_b^2} \right) \ddot{y} - m_b \dot{\theta}_x (y\dot{\theta}_x - x\dot{\theta}_y) + m_b g \sin \theta_x = 0$$

Isolando as derivadas de segunda ordem, tem-se:

$$\ddot{x} = \frac{m_b (x\dot{\theta}_y^2 - y\dot{\theta}_x\dot{\theta}_y + g \sin \theta_y)}{m_b + \frac{J_b}{r_b^2}}$$

$$\ddot{y} = \frac{mb(y\dot{\theta}_x^2 + x\dot{\theta}_x\dot{\theta}_y - g \sin \theta_x)}{m_b + J_b r_b^2}$$

Análise Cinemática das Juntas

A Figura 2 ilustra um corte transversal da planta em relação ao eixo de um dos motores.

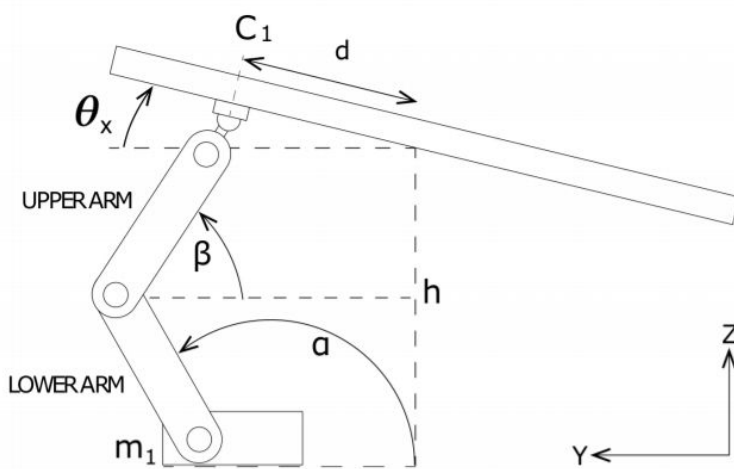


Figura 2: Corte transversal do sistema com relação ao motor 1.

A figura abaixo ilustra a vista superior do sistema e o posicionamento das juntas.

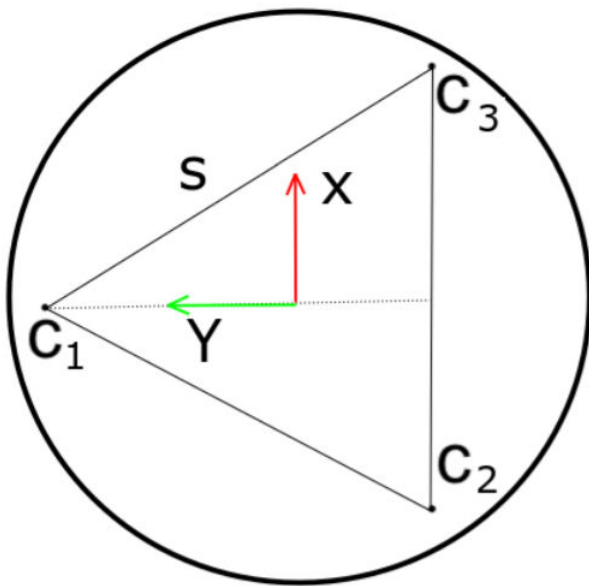


Figura 3: Vista superior do triângulo equilátero formado pelos pontos onde as juntas estão acopladas ao prato.

A altura no eixo Z pode ser então definida por:

$$Z_{c1} = h + \frac{S \cos(30^\circ)}{2} \sin(\theta_x)$$

$$Z_{c1} = h + \frac{S}{\sqrt{3}} \sin(\theta_x)$$

Alternativamente, Z_{c1} pode ser escrito como:

$$Z_{c1} = l \sin \alpha + l \sin \beta = 2l \sin \alpha_1$$

$$\alpha_1 = \arcsin\left(\frac{Z_{c1}}{2l}\right)$$

A Figura 4 ilustra um corte transversal com relação aos motores 2 e 3.

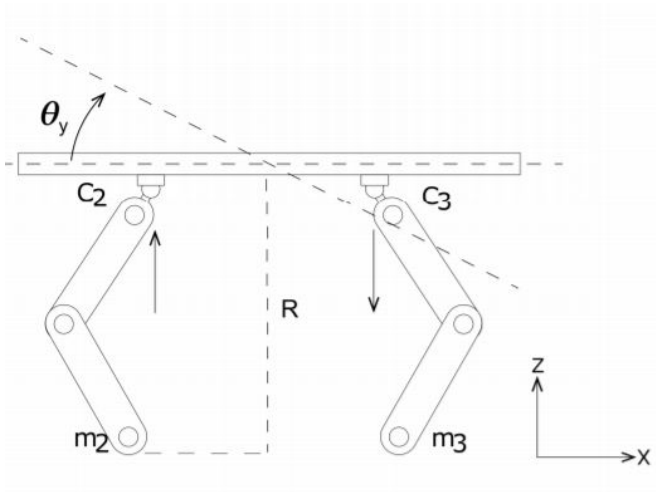


Figura 4: Seção transversal às juntas 2 e 3.

A altura no eixo z dos pontos Z_{c2} e Z_{c3} é expressa por:

$$Z_{c2} = R + \frac{s}{\sqrt{3}} \sin \theta_y$$

$$Z_{c3} = R - \frac{s}{\sqrt{3}} \sin \theta_y$$

$$R = h - \frac{s}{s \sqrt{3}} \sin \theta_x$$

$$\alpha_2 = \arcsin \frac{Z_{c2}}{2l}$$

$$\alpha_3 = \arcsin \frac{Z_{c3}}{2l}$$

Os ângulos $\alpha_{1,2,3}$ são equivalentes aos ângulos dos motores servo $m_{1,2,3}$. Para evitar singularidades no sistema, força-se $\alpha_{1,2,3}$ a operar na região de 90 a -145°.

Desenvolvimento

Após a validação das equações referentes ao modelo dinâmico do MOAB, bem como da análise da cinemática das juntas, verificou-se a compatibilidade destas com o modelo proposto por CITAR REPOSITÓRIO DO MOAB.

De modo a validar as equações, o sistema foi representado de duas formas: utilizando o Simscape e o Simulink, implementando no segundo as equações diferenciais que descrevem o sistema. Para analisar a posição da bola de forma comparativa entre as duas simulações, estabeleceu-se em malha fechada valores de referência para o ângulo em relação ao eixo x , θ_y e o ângulo com relação ao eixo y , θ_x . Os valores de referência adotados para uma simulação de dois segundos podem ser visualizados na Figura 5.

```
initializeMoab
```

```
showing Mechanics Explorer
```

```
MOAB_PARAMS
```

```
out = sim('MyMOAB')
```

```
out =  
    Simulink.SimulationOutput:  
  
    logout: [1x1 Simulink.SimulationData.Dataset]  
    simlog: [1x1 simscape.logging.Node]  
    simout: [1x1 timeseries]  
    tout: [550x1 double]  
  
    SimulationMetadata: [1x1 Simulink.SimulationMetadata]  
    ErrorMessage: [0x0 char]
```

```
tx = out.simout.Data(:,1,:); tx = tx(:,,:);  
ty = out.simout.Data(:,2,:); ty = ty(:,,:);  
x2 = out.simout.Data(:,3,:); x2 = x2(:,,:);  
x1 = out.simout.Data(:,4,:); x1 = x1(:,,:);  
y2 = out.simout.Data(:,5,:); y2 = y2(:,,:);  
y1 = out.simout.Data(:,6,:); y1 = y1(:,,:);  
t = out.simout.time;  
  
figure();  
plot(t,tx,'s','color','#A2142F','LineWidth',1), hold on;  
plot(t,ty,'-','color','#77AC30','LineWidth',1), hold off;
```



```

ylabel('$\theta_x, \theta_y; (rad)$', 'Interpreter', 'Latex');
ylim([-0.015 0.025])
xlabel('$t; (s)$', 'Interpreter', 'Latex');
legend('$\theta_x$', '$\theta_y$', 'Interpreter', 'Latex', ...
      'Location', "northwest"); grid;

```

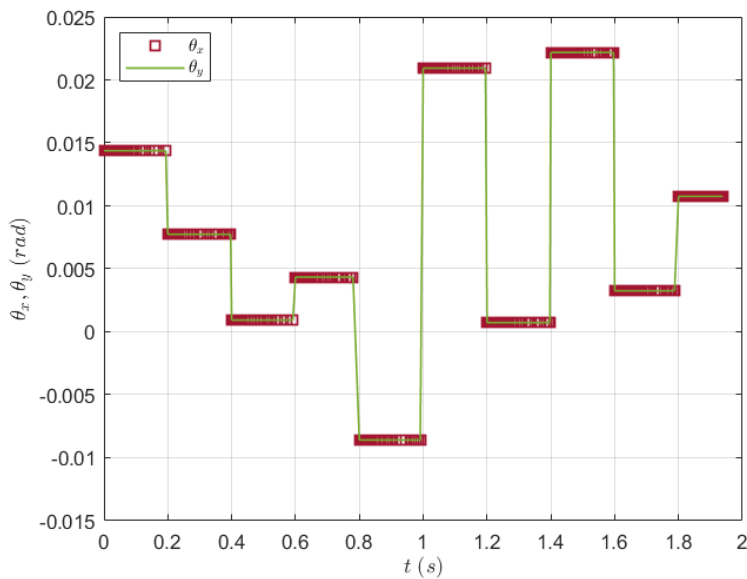


Figura 5: Referências impostas para os ângulos θ_x e θ_y .

Ao utilizar estes valores como referência em malha fechada, observou-se a posição da bola no prato com relação aos eixos x e y para dois segundos de simulação. O resultado pode ser observado na Figura 6.

```

figure();
subplot(2,1,1)
plot(t(1:7:end),x1(1:7:end),'o','LineWidth',1,"Color","#77AC30"), hold on;
plot(t,x2,'LineWidth',1,"Color","#A2142F"), hold off;
ylabel('$x; (m)$', 'Interpreter', 'Latex');
xlabel('$t; (s)$', 'Interpreter', 'Latex');
ylim([-0.01 0.08])
legend('$x_{Simulink}(t)$', '$x_{Simscape}(t)$', 'Interpreter', 'Latex', ...
      'Location', "southeast"); grid;
subplot(2,1,2)
plot(t(1:7:end),y1(1:7:end),'o','LineWidth',1.2,"Color","#77AC30"), hold on;
plot(t,y2,'-','LineWidth',1.2,"Color","#A2142F"), hold off;
ylabel('$y; (m)$', 'Interpreter', 'Latex');
xlabel('$t; (s)$', 'Interpreter', 'Latex');
legend('$y_{Simulink}(t)$', '$y_{Simscape}(t)$', 'Interpreter', 'Latex', ...
      'Location', "northeast"); grid;

```

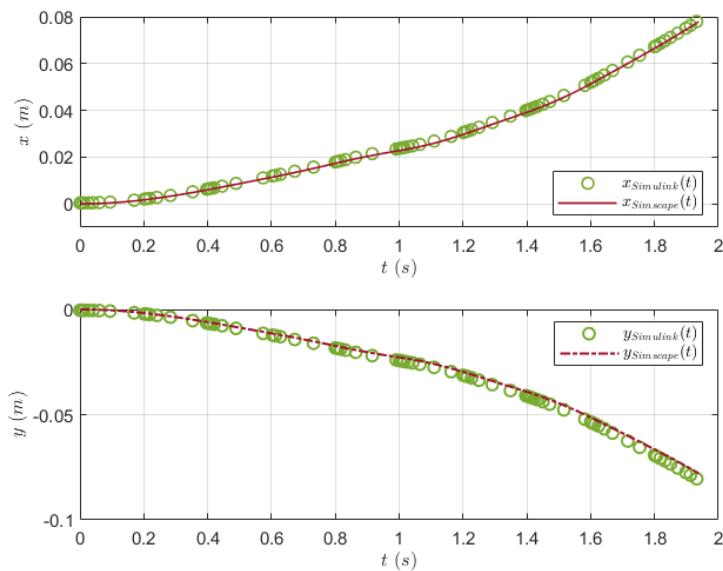


Figura 6: Posição da bola no prato com relação aos eixos x e y .

Diante dos resultados de simulação, pode-se afirmar que a velocidade da bola no Simulink é superior à obtida com o Simscape. Isto pode ser atribuído à premissa inicial de que as forças de atrito são desprezíveis. O diagrama de blocos do Simulink despreza estas forças, no entanto, o Simscape considera um coeficiente de atrito não nulo. Ainda que a discrepância entre os valores seja pequena, a diferença de posição da bola nos dois eixos se dá pela consideração da força de atrito atuante, no caso do Simscape, e a inexistência da mesma no caso do Simulink.

Referências Bibliográficas

[1] A. SINGH. **Moab System Modeling and PID Controller Design.**